

Приложение Г. Результат решения задачи оптимизации

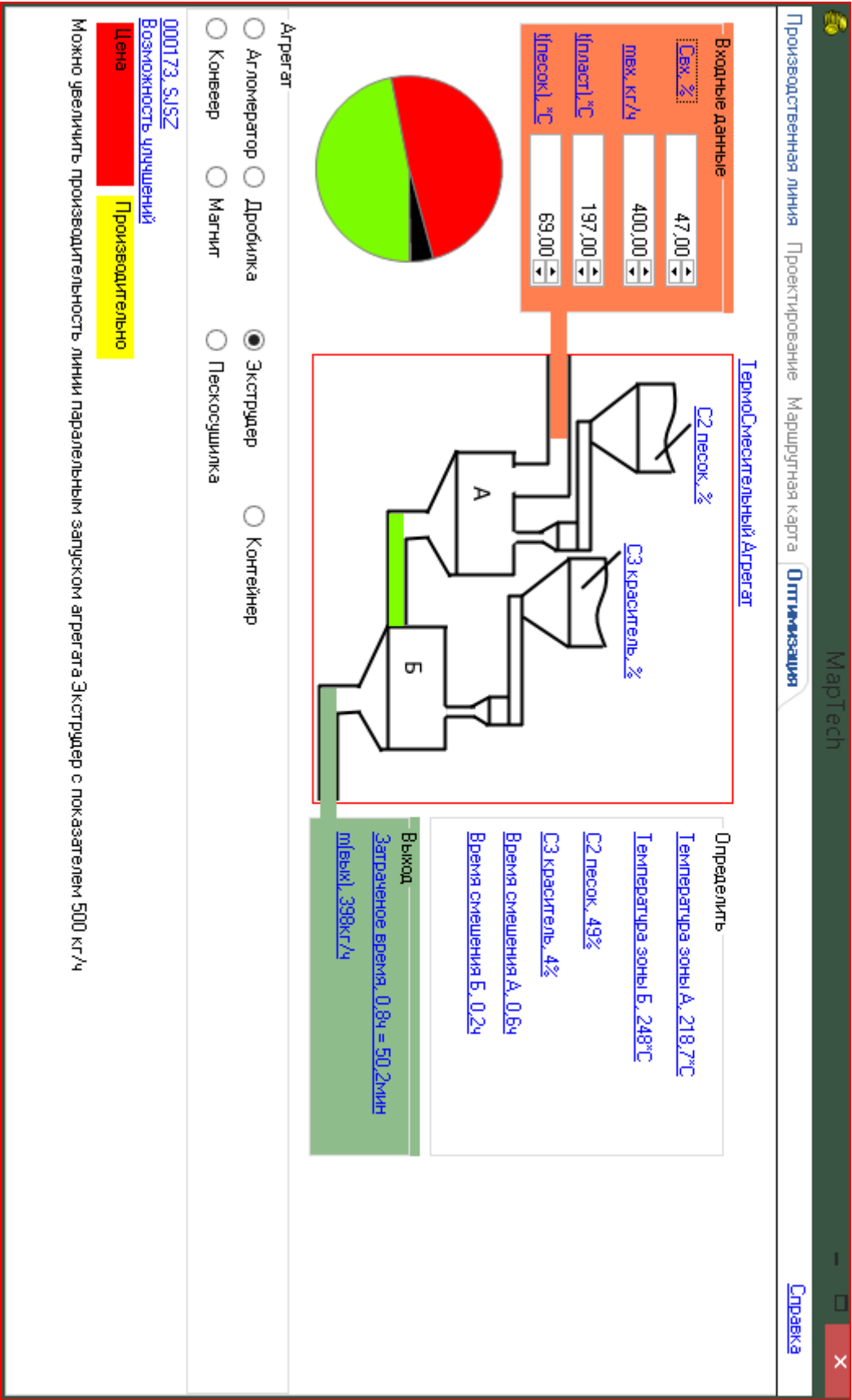


Рисунок - 24 Найденные зависимости  $C_{1,2,3}$  и рабочие температуры T